

УДК 539.1.074.2

ПРЯМЫЕ СТРАТОСФЕРНЫЕ ИЗМЕРЕНИЯ ЗАРЯДОВ И ЭНЕРГИЙ ПЕРВИЧНЫХ КОСМИЧЕСКИХ ЛУЧЕЙ В ДИАПАЗОНЕ $10^{13} - 10^{15}$ эВ (ПРОЕКТ CROSS)

А. Д. Ерлыкин, А. С. Борисов, К. А. Котельников,
С. К. Котельников, В. М. Максименко, В. С. Пучков,
Ю. А. Трубкин, А. П. Чубенко, Р. А. Мухамедшин¹

Эксперимент CROSS (Cosmic Rays Over Spectrum Steepening) нацелен на прямые измерения масс и энергий ядер первичного космического излучения (ПКИ) в диапазоне $10^{13} - 10^{15}$ эВ вблизи излома в энергетическом спектре ПКИ. Экспериментальная техника – аэростатный ионизационный спектрометр, состоящий из генераторов рентгеновского переходного излучения, проложенных тонкостенными пропорциональными камерами.

Прямые экспериментальные исследования химического состава и измерение энергий первичных космических лучей в диапазоне $E \sim 10^{15} - 10^{16}$ эВ, где наблюдается излом в энергетическом спектре первичного космического излучения [1], позволяют глубже понять механизм ускорения частиц до столь высоких энергий и распределение этих частиц в нашей Галактике. Возросший в последнее время интерес к таким исследованиям объясняется главным образом успехами в развитии аэростатной техники, благодаря чему стало возможным проводить в стратосфере на высотах ~ 40 км облучение научных установок весом до ~ 2 тонн в течение нескольких суток [2].

1. *Физическая задача эксперимента CROSS.* Традиционно исследования химического состава и измерение энергий частиц первичных космических лучей в области перегиба спектра в диапазоне $E \sim 10^{15} - 10^{16}$ эВ проводились при помощи наземных установок, регистрирующих широкие атмосферные ливни космических лучей [3],

¹ Институт ядерных исследований РАН.

а также при помощи больших высокогорных рентген-эмulsionионных камер [4]. Однако получаемые на таких установках экспериментальные данные в очень большой степени определяются сложными каскадными процессами, которые протекают при прохождении космических лучей через атмосферу. Поэтому при определении атомных масс и энергий первичных частиц приходится решать обратную задачу, в которой в качестве исходных данных используются такие измеряемые на эксперименте величины, как пространственные распределения электронов ШАЛ, потоки гамма-квантов высоких энергий, мюонов и т.д. Несколько неоднозначны получаемые при этом выводы, можно продемонстрировать на следующем примере. Так, из анализа экспериментальных данных по ШАЛ авторы работ [3] приходят к заключению, что при энергиях $\sim 10^{16}$ эВ доля протонов среди первичных частиц не превышает 5–10%, остальные первичные частицы – это тяжелые ядра. Вместе с тем, как это следует из анализа данных рентген-эмulsionионных камер для событий с $\Sigma E_\gamma > 100$ ТэВ [4], около 80% семейств гамма-квантов образованы первичными протонами и ядрами атомов гелия, т.е. не происходит существенного изменения массового состава космических лучей при переходе от энергий в несколько ТэВ в область энергий излома первичного спектра. К такому же выводу приходят авторы работы [7] при анализе среднего возраста ШАЛ на высотах гор при энергиях $E \sim 10^{15} - 10^{16}$ эВ. Наблюдаемое противоречие сохраняется и не снимается проведением более детальных расчетов и использованием в этих расчетах современных моделей ядерных взаимодействий. По-видимому, разрешить данную проблему позволят только прямые экспериментальные определения природы первичных частиц, энергии которых лежат в области перегиба энергетического спектра. Кроме этого, существует целый ряд других проблем в физике космических лучей и астрофизике, решение которых делает актуальной физическую задачу данного проекта – экспериментальное определение природы частиц первичного космического излучения, энергии которых заключены в диапазоне величин лоренц-факторов $\gamma \sim 5 \cdot 10^3 - 5 \cdot 10^4$.

Первичный экспериментальный материал проекта предполагается получать при помощи стрatosферных камер, длительные облучения которых на границе атмосферы будут проводиться на автоматических аэростатах на высотах (3–10) г/см².

Основная экспериментальная методика, которую предполагается применять в стратосферных камерах проекта определения E_0 , состоит в детектировании рентгеновского переходного излучения (РПИ) специально разработанными для этих исследований большими ксеноновыми пропорциональными счетчиками. Определенное число счетчиков вместо ксенона будут заполнены аргоном, что позволит измерять первичную ионизацию

цию, производимую частицами, и определять тем самым заряд частиц космического излучения Z .

2. Экспериментальная установка. На рис. 1 схематично показана экспериментальная установка проекта, которая состоит из 3 генераторов рентгеновского переходного излучения РПИ. Каждый генератор представляет собою стопку, составленную из 50 лавсановых пленок. Пленки имеют толщину $L_1=40$ микрон и разнесены по вертикали друг относительно друга на величину зазора $L_2=1.5$ см, где L_1 и L_2 – определяются размерами зон формирования электромагнитного поля частиц соответственно в веществе пленок и в воздухе. Указанные размеры зон формирования обеспечивают возможность определения лоренц-факторов первичных частиц в диапазоне величин $\sim 5 \cdot 10^3 - 5 \cdot 10^4$ эВ. Суммарная толщина всех генераторов составляет около $1 \text{ г}/\text{см}^2$, площадь – 4 м^2 .

Все 3 генератора РПИ переложены двойными рядами пропорциональных счетчиков (1-2), как это показано на рис. 1. Пропорциональные цилиндрические счетчики выполнены из металлизированных майларовых трубок, толщина стенок которых равна 100–150 микронам. Диаметр счетчика d равен 2 см, длина счетчика – 200 см. В качестве анода счетчика используется золоченая вольфрамовая нить, диаметр которой равен 25 микронам. Рабочее напряжение, подаваемое на нить, равно 1300 В.

Газовая смесь, которой заполняются ксеноновые пропорциональные счетчики, имеет состав $0.25 \text{ Xe} + 0.60 \text{ He} + 0.15 \text{ CH}_4$, в которой первичная ионизация от релятивистской однократно заряженной частицы составляет 160 пар ионов. В аргоновых камерах, заполненных смесью $0.75 \text{ Ar} + 0.1 \text{ He} + 0.15 \text{ CH}_4$, будет создаваться такое же число пар ионов первичной ионизации. Такие заряды при коэффициенте газового усиления $A = 20$ будут формировать на нити счетчика электрический сигнал $V_c = 300 \mu\text{В}$. При прохождении через счетчик ядра Fe на нити будет собираться заряд $\sim 3 \text{ pC}$ (в работе [8] заряд в аналогичных условиях оказывался равным приблизительно одному пикоКулону).

Все цилиндрические пропорциональные камеры 2 см диаметром и 200 см длиною выполняются из алюминизированного майлара толщиной 100–150 микрон. Общее число камер составляет 1400, из них 800 камер заполнены Ar-содержащей газовой смесью, а 600 – He газовой смесью.

Были проведены оценки экспериментальных характеристик прибора с использованием результатов работ [5, 6].

Оценивался также отклик S секции как энергия переходного изучения, детектируемая соответствующим двойным рядом He камер, с учетом ионизации проходящей ультрарелятивистской однократно заряженной частицы, как функция ее лоренц-фактора (γ).

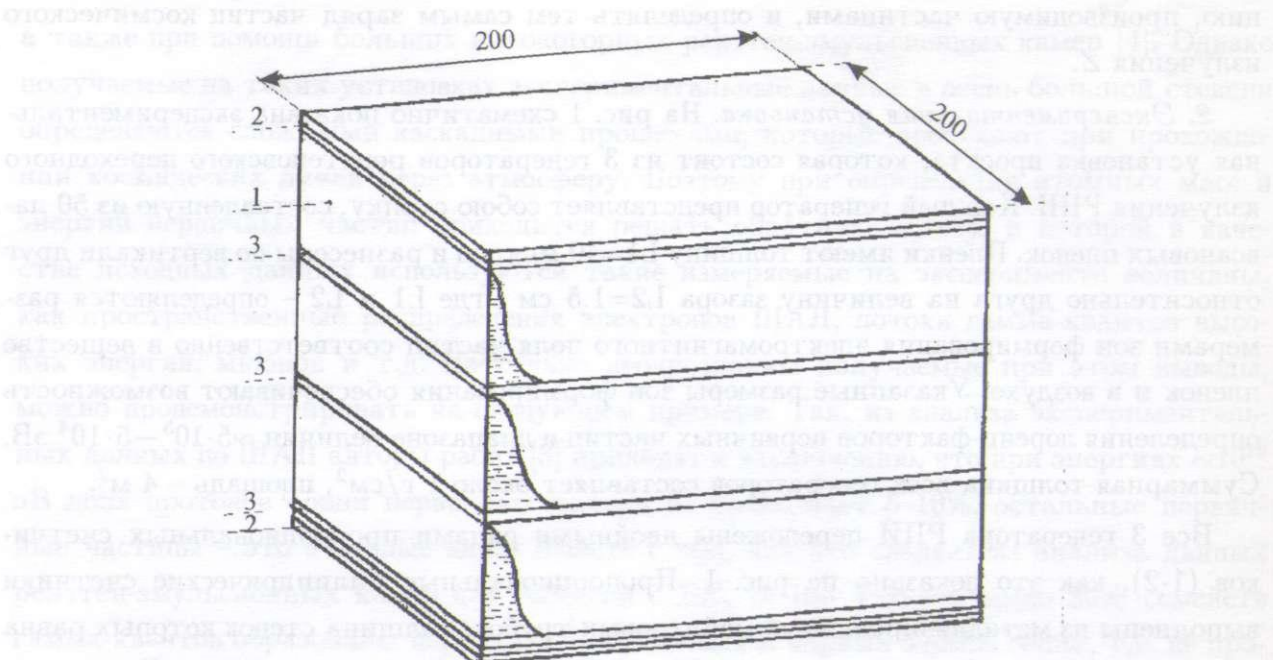


Рис. 1. Схема установки CROSS, представляющей собой куб с размерами граней $2 \times 2 \text{ м}^2$. Стрелкой 1 показаны многослойные генераторы рентгеновского переходного излучения; стрелкой 2 – ряды тонкостенных пропорциональных Ag счетчиков, 3 – ряды Xe счетчиков.

Как следует из этих вычислений, невозможно измерить с достаточно высокой точностью величину лоренц-фактора однократно заряженных частиц. Ситуация для Z-заряженных ядер ПКИ показана в таблице 1 и на рис. 3, где представлены возможные неопределенности $\Delta(\lg\gamma)$ при определении лоренц-фактора и соответствующая погрешность dE/E в определении энергии. Неопределенности оценивались как

$$\Delta(\lg\gamma) = [N_{ph}(E_{ph})^2 + (2060)^2(Z^2)^{-0.4}((n1 + n2)/n2)]^{0.5}/((dS/d(\lg\gamma))[Z^2 n1]^{0.5}),$$

где N_{ph} – число фотонов РПИ, зарегистрированных от единично-заряженной частицы, E_{ph} – средняя энергия фотона в теоретически рассчитанном спектре РПИ, 2060 (эВ) – среднеквадратичное отклонение ионизационных энергопотерь в слое 0.8 см Xe при атмосферном давлении, Z – заряд частицы, $dS/d(\lg\gamma)$ – производная зависимости на рис. 2, $n1$ и $n2$ – число слоев, регистрирующих РПИ и ионизацию соответственно.

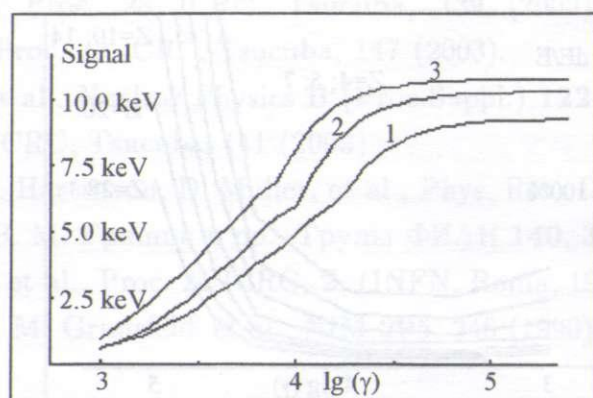


Рис. 2. Сигнал переходного излучения S , генерируемый однократно заряженной частицей при пролете одной из секций. Кривая 1 соответствует радиатору из $N = 50$ майларовых пленок, каждая толщиной $L_1 = 40$ микрон, разделенных промежутками $L_2 = 1.5$ см (основной вариант). Для сравнения кривые 2 и 3 представляют результаты для вариантов $L_1 = 25$ микрон, $L_2 = 1.0$ см, $N = 50$ и $L_1 = 15$ микрон, $L_2 = 1.0$ и $N = 50$ соответственно.

Таблица 1

Оценка погрешностей $\Delta(\lg\gamma)$ в определении лоренци-фактора частиц с различными Z^2 для основного варианта

γ	$N_{ph}(Z=1)$	E_{ph} , эВ	$Z^2 = 12.5$	$Z^2 = 25$	$Z^2 = 50$	$Z^2 = 100$	$Z^2 = 200$	$Z^2 = 400$	$Z^2 = 800$
10^3	0.0835	8150	0.24	0.16	0.11	0.07	0.05	0.04	0.03
$3 \cdot 10^3$	0.2232	9496	0.17	0.12	0.08	0.06	0.04	0.03	0.02
10^4	0.4414	11104	0.18	0.13	0.09	0.06	0.04	0.03	0.02
$3 \cdot 10^4$	0.6760	12178	0.37	0.26	0.18	0.13	0.09	0.07	0.05
$5 \cdot 10^4$	0.7161	12318	0.93	0.66	0.46	0.33	0.23	0.16	0.12
$7 \cdot 10^4$	0.730	12359	1.86	1.31	0.93	0.65	0.47	0.33	0.23
10^5	0.7368	12379	3.72	2.62	1.85	1.31	0.92	0.65	0.46

Триггерный сигнал для записи сигналов, которые возникают на нитях пропорциональных счетчиков при прохождении высокоэнергичных частиц через установку, формируется при регистрации РПИ и выполнении условия

$$\Sigma V^{Xe} / \Sigma V^{Ar} \geq B, \quad (1)$$

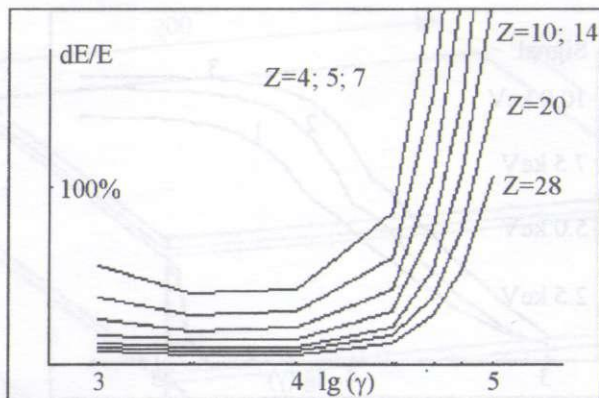


Рис. 3. Точность измерения энергий ядер ПКИ, рассчитанная для основного варианта установки.

где величина B должна быть больше единицы, но ее рабочее значение подбирается экспериментально. Следует отметить, что статистическая точность в определении сумм, входящих в выражение (1), достаточно высокая и составляет 10%, в то время как максимальный сигнал РПИ приблизительно на 30% превышает первичную ионизацию [5, 6]. Вместе с тем, представляется крайне важным провести методические исследования стабильности работы пропорциональных счетчиков, триггерного устройства и других экспериментальных характеристик стратосферной камеры, облучая макет установки пучком электронов известных энергий.

Геометрический фактор установки составляет $\sim 2.52 \text{ м}^2\text{стэр.}$, что обеспечивает регистрацию за время полета аэростата по трассе п-ов Камчатка – р. Волга около 40 частиц первичных космических лучей, энергии которых превышают 10^{14} эВ.

Контроль режима работы различных узлов установки, калибровка всех пропорциональных счетчиков, запись данных рабочих срабатываний установки и передача данных через спутниковую связь – все эти операции осуществляются при помощи бортового компьютера.

Работа проводится при поддержке РФФИ, грант 07-02-00702.

ЛИТЕРАТУРА

- [1] Г. В. Куликов, Г. Б. Христиансен, ЖЭТФ **35**, 635 (1958).
- [2] W. V. Jones, D. Pierce, D. Gregory, et al., Proc. 29 ICRC, Pune, 101 (2005).

- [3] M. Rot et al., Proc. 28 ICRC, Tsucuba, 139 (2003); G. Navarra- (EAS-Top Collaboration), Proc. 28 ICRC, Tsucuba, 147 (2003).
- [4] V. S. Puchkov et al., Nuclear Physics B (Proc. Suppl.) **122**, 263 (2003); A. S. Borisov et al., Proc. 28 ICRC, Tsucuba, 111 (2003).
- [5] M. L. Cherry, G. Hartmann, D. Muller, et al., Phys. Rev. D **10**, 3494 (1974).
- [6] B. C. Асоков, В. М. Гришин и др., Труды ФИАН **140**, 3 (1982).
- [7] N. M. Nesterova et al., Proc. 24 ICRC, **2**, (INFN, Roma, 1995), p. 748.
- [8] J. L. Heureus, J. M. Grunsfeld, et al., NIM **295**, 246 (1990).

Поступила в редакцию 12 декабря 2007 г.